

5. М. Б. Нейман, Б. М. Коварская, М. П. Язвикова, А. И. Сиднев, М. С. Акутин, Высокомолек. соед., 3, 602, 1961.
 6. H. C. Anderson, J. Appl. Polimer. Sci., 22, 484, 1962.
 7. D. P. Bishop, D. A. Smith, Industr. and Engng Chem., 58, 32, 1967.
 8. М. Б. Нейман, Б. М. Коварская, М. П. Язвикова, А. С. Сиднев, М. С. Акутин, Высокомолек. соед., 3, 602, 1961.
 9. В. Д. Моисеев, М. Б. Нейман, Б. М. Коварская, М. Б. Зенона, В. В. Гурьяненкова, Пласт. массы, 1962, № 6, 11.
 10. В. В. Дудоров, М. Б. Нейман, А. Ф. Луковников. Пласт. массы, 1961, № 12, 3.
 11. Р. В. Кучер, А. А. Турковский, Л. В. Лукьяненко, Н. В. Дзумедзе, Теорет. и эксперим. химия, 1976, № 1, 41.
-

УДК 541.64:539.3

ПОЛЗУЧЕСТЬ ПОЛИЭТИЛЕНТЕРЕФТАЛАТА В ВОДНЫХ СРЕДАХ

*Порчидзе А. Д., Рудакова Т. Е., Моисеев Ю. В.,
Казанцева В. В., Аскадский А. А.*

В предыдущих работах [1, 2] было показано, что ползучесть полиарилата в воде и в водных растворах солей увеличивается по сравнению с ползучестью на воздухе вследствие объемной сорбции воды полимером. Изученный нами полиарилат Ф-2 растворяется при 25° 2,8% воды, причем одна часть сорбированной воды находится в микропорах, другая «истинно» растворена в полимере [2].

Было высказано предположение, что ползучесть полимера увеличивается пропорционально концентрации «истинно» растворенной воды в полимере. Интересно было проверить, соблюдается ли полученный эффект на другом полимере, растворяющем меньшее количество воды.

Исследовали пленки ПЭТФ толщиной $20 \pm 5 \text{ мкм}$, 35%-ной степени кристалличности. Испытания на ползучесть проводили на приборе, обеспечивающем поддержание постоянного напряжения во время эксперимента. Образец в виде пленки шириной 2 мм и рабочей длиной 22 мм укрепляли в рамку с зажимами и термостабилизировали в стеклянной ячейке с точностью $\pm 0,2^\circ$. Деформацию образца регистрировали при помощи датчиков на потенциометре.

Поверхностную энергию на границе раздела полимер – среда ($\gamma_{\text{п-ж}}$) определяли по формуле Юнга

$$\gamma_{\text{п-ж}} = \gamma_{\text{п-г}} - \gamma_{\text{ж-г}} \cdot \cos \phi, \quad (1)$$

где $\gamma_{\text{п-г}}$ – поверхностная энергия на границе раздела ПЭТФ – воздух, равная 43 эр/см^2 [3], $\gamma_{\text{ж-г}}$ – поверхностная энергия на границе раздела жидккая среда – воздух [4], ϕ – экспериментально определяемый краевой угол смачивания.

На рисунке (а, б) представлены кривые ползучести ПЭТФ при постоянном напряжении на воздухе, в воде и в водных растворах KNO_2 . Как и в случае полиарилата Ф-2 наблюдаются два эффекта: ниже некоторого критического напряжения ползучесть ПЭТФ пленок на воздухе и в водных растворах практически одинакова; выше критического напряжения ползучесть пленок ПЭТФ в водных средах выше, чем на воздухе, причем, тем выше, чем меньше концентрация соли в растворе.

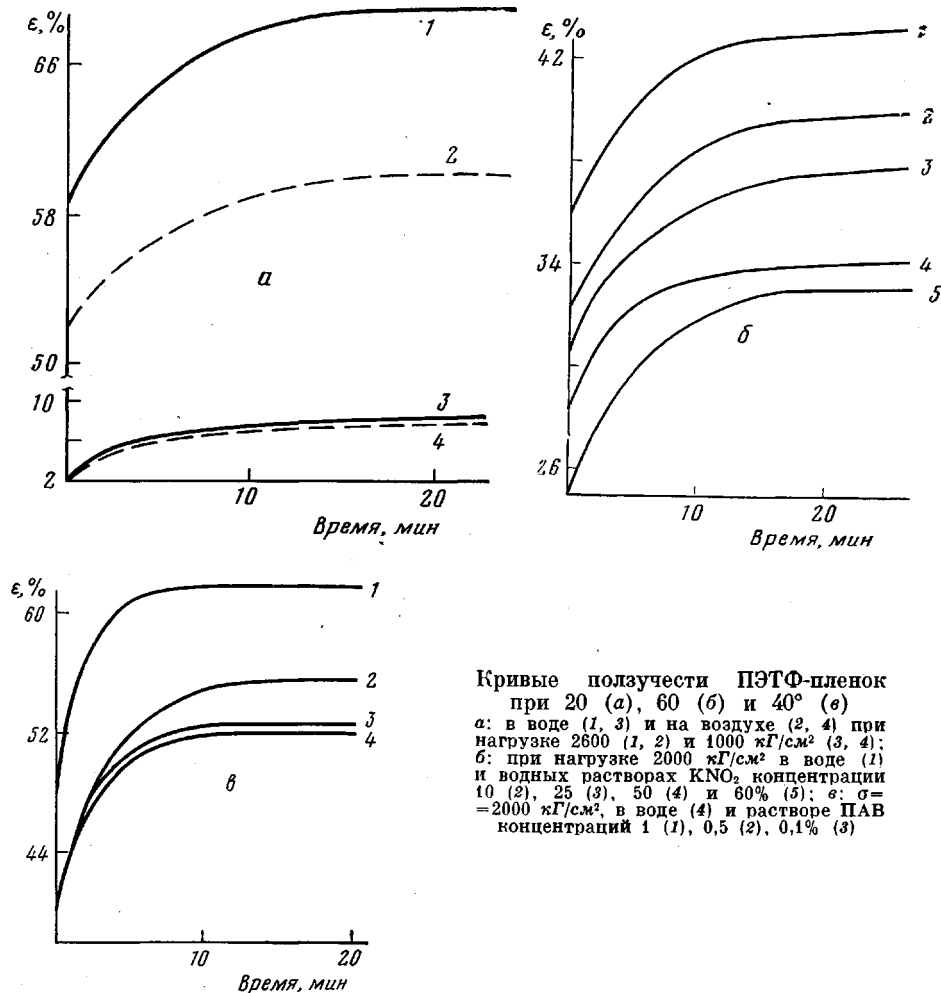
Кривые ползучести ПЭТФ так же, как и полиарилата в водных средах выше критического напряжения удовлетворительно описываются экспоненциальной функцией с одним временем релаксации

$$\epsilon(t) = \epsilon_\infty \left[1 - \exp \left(-\frac{t}{\theta} \right) \right], \quad (2)$$

где ϵ_∞ – равновесная деформация при $t \rightarrow \infty$, θ – время релаксации.

Значения θ для интервала температур 25 – 60° и концентраций KNO_2 10 – 60% практически не зависят от температуры и концентрации KNO_2 .

В общем случае увеличение ползучести полимеров при контакте с жидкими средами обусловлено действием трех эффектов: адсорбционного, приводящего к понижению поверхностной энергии на границе раздела полимер — среда; абсорбционного, увеличивающего свободный объем системы полимер — среда и вызывающего уменьшение межмолекулярного взаимодействия; разрывом несущих химических связей в результате химической деструкции.



Под действием воды гидролитическая деструкция ПЭТФ в отсутствии механического поля происходит медленно, например, константа распада сложноэфирных связей по закону случая при 25° $k=10^{-10}$ мин⁻¹ [5, 6]. При действии напряжения $\sigma=2000$ кГ/см² в течение 6 час в интервале температур 25—60° вискозиметрическим методом не было обнаружено изменения средневязкостной молекулярной массы. Таким образом, можно принять, что в условиях эксперимента химическая деструкция сложноэфирных связей ПЭТФ практически не происходит. Что касается двух других эффектов, то уменьшение ползучести пленок ПЭТФ с увеличением концентрации KNO₃ может быть объяснено как уменьшением $\gamma_{\text{п-ж}}$, так и ростом концентрации KNO₃ (уменьшением активности воды).

Концентрация					
KNO ₃ , %	10	25	50	60	
$\gamma_{\text{п-ж}}, \text{ эрг/см}^2$	21,4	23,1	25,0	25,2	

Если увеличение ползучести пленок ПЭТФ связано с понижением поверхностной энергии на границе раздела полимер — среда, то следует ожидать, что добавление небольших количеств ПАВ будет влиять на ползучесть.

На рисунке в представлены кривые ползучести ПЭТФ в воде и водных растворах ПАВ — натриевой соли додецилсульфата. Видно, что добавление ПАВ значительно увеличивает деформацию ползучести. Что касается адсорбционного эффекта, связанного с проникновением воды в полимер, то в данном случае он не играет существенной роли, поскольку растворимость воды в ПЭТФ, по данным работы [7], составляет 0,5 %.

Добавление к полиарилату раствора ПАВ практически не влияет на величину деформации ползучести. Таким образом, мы показали, что количество сорбированной полимером воды оказывает влияние на причину увеличения деформации ползучести. При деформации ПЭТФ в водных средах причиной увеличения деформации ползучести являются адсорбционные процессы.

Институт химической физики
АН СССР

Поступила в редакцию
19 X 1979

Институт элементоорганических
соединений АН СССР

ЛИТЕРАТУРА

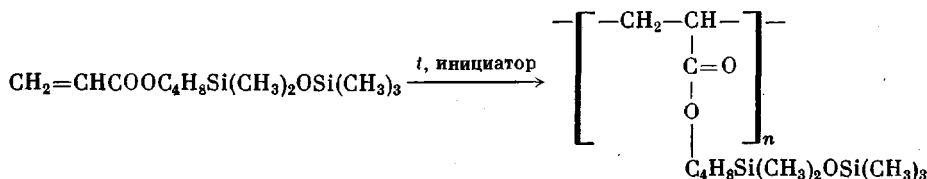
1. Н. И. Тихонова, В. В. Казанцева, Г. Тейес-Акунья, Т. Е. Рудакова, А. А. Аскадский, Ю. В. Моисеев, Г. Е. Заиков, Высокомолек. соед., A20, 1543, 1978.
2. Т. Е. Рудакова, Ю. В. Моисеев, А. Д. Порчхидзе, В. В. Казанцева, А. А. Аскадский, Высокомолек. соед., A22, 449, 1980.
3. А. А. Берлин, В. Е. Басин, Основы адгезии полимеров, «Химия», 1974, стр. 62.
4. Справочник химика, т. 3, «Химия», 1964, стр. 726.
5. K. C. Golike, S. W. Zasoski, J. Phys. Chem., 64, 895, 1960.
6. D. A. S. Ravens, J. M. Ward, Trans. Faraday Soc., 57, 150, 1961.
7. Справочник по пластическим массам, т. 2, «Химия», 1975, стр. 158.

УДК 541.64:547.1'128

ПОЛИМЕРИЗАЦИЯ ПЕНТАМЕТИЛ(АКРИЛОКСИБУТИЛ)- ДИСИЛОКСАНА

Андранинов К. А., Волкова Л. М., Жданов А. А.,
Парсегова Е. П.

Цель настоящей работы — изучение радикальной полимеризации пентаметил(акрилоксибутил)дисилоксана (I). Образующиеся полимеры представляют определенный интерес: их можно отнести к классу «гребнеобразных», поскольку их макромолекулы содержат длинные боковые ответвления в каждом мономерном звене [1—3].



I получали взаимодействием диметилсилоксациклогексана с акриловой кислотой и триметилхлорсиланом или гексаметилдисилоксаном в присутствии H_2SO_4 и гидрохинона как ингибитора; т.кип. 103—110°/2 тор, $n_{D^20}^{20}$ 1,4290, d_4^{20} 0,9061 g/cm^3 . Пере-